

## СПЕКТРАЛЬНО-СЕЛЕКТИВНЫЕ РАДИОМЕТРЫ С ПОЛОСАМИ ПРОПУСКАНИЯ ДО 1 ГГц

© 2013 г. Н. Е. Кольцов, С. А. Гренков, Л. В. Федотов

Институт прикладной астрономии РАН

Россия, 191187, Санкт-Петербург, наб. Кутузова, 10

Поступила в редакцию 02.08.2012 г.

Даны описания спектрально-селективных радиометров, обеспечивающих высокоточные измерения в континууме в условиях воздействия узкополосных радиопомех, а также регистрацию радиоизлучений в спектральных линиях. Два параллельных канала радиометра обеспечивают одновременный прием сигналов двух поляризаций или сигналов двух диапазонов волн. Каналы радиометра, установленного в обсерватории “Бадары”, работают в полосах частот до 32 МГц и имеют разрешающую способность 62.5 кГц при максимальной полосе приема. Каналы радиометра в обсерватории “Светлое” имеют полосы приема 1024 МГц или 512 МГц и разрешающую способность 1 МГц или 0.5 МГц соответственно.

DOI: 10.7868/S0032816213040253

### ВВЕДЕНИЕ

Для радиометрических измерений в континууме в настоящее время применяют радиометры, которые основаны на квадратичном детектировании шумовых сигналов в полосе пропускания  $\Delta f$  приемного канала и определении разности напряжений продетектированных сигналов, полученных при приеме исследуемого сигнала и при его отсутствии [1].

Чтобы повысить чувствительность радиотелескопа и точность радиометрических измерений, расширяют полосу пропускания  $\Delta f$  приемного канала до детектора. На радиотелескопах комплекса “Квазар-КВО”, например, при  $\Delta f = 900$  МГц обеспечивается регистрация принимаемых сигналов с шумовой температурой  $T_s \approx 10^{-4} T_{\text{ш}}$ , где  $T_{\text{ш}}$  – температура собственных шумов радиотелескопа [2, 3]. Но возможности использования высокочувствительных широкополосных радиометров в последние годы сужаются в связи с постоянным увеличением числа радиопомех, создаваемых, в основном, системами радиосвязи [4]. Радиопомехи, попадающие в полосу пропускания  $\Delta f$  приемного канала, детектируются вместе с собственными шумами радиотелескопа и принимаемым сигналом, после чего их уже невозможно отделить от измеряемого сигнала. Даже помехи небольшой мощности (на 3–4 порядка меньше мощности собственных шумов радиотелескопа) вносят ошибку, соизмеримую и даже превышающую значение шумовой температуры  $T_s$  исследуемого сигнала. Результаты измерений энергетических параметров космического излучения при воздействии радиопомех становятся недостоверными, а исследова-

ния малых нестационарностей излучения практически невозможными.

В [5] был предложен и теоретически обоснован способ радиометрических измерений в континууме без амплитудного квадратичного детектирования сигналов, который основан на аналого-цифровом преобразовании шумового сигнала в приемном канале в цифровую последовательность, вычислении энергетического спектра методом быстрого преобразования Фурье (б.п.Ф.) и исключении спектральных компонентов на частотах радиопомех. В данной статье представлены результаты разработки и экспериментального исследования таких радиометров, работающих в полосах частот до 1 ГГц.

### ПРИНЦИП ДЕЙСТВИЯ СПЕКТРАЛЬНО-СЕЛЕКТИВНОГО РАДИОМЕТРА

Чтобы создать широкополосный радиометр спектрально-селективного типа, был разработан модуль вычисления спектров сигналов, работающий со штатным оборудованием радиотелескопа комплекса “Квазар-КВО” – радиоастрономическим приемным устройством (р.п.у.) с модуляцией коэффициента усиления в  $M = 10$  раз, основным генератором шума ( $G\mathcal{W}_1$ ), имитирующим шумы антенны, дополнительным генератором шума ( $G\mathcal{W}_2$ ), используемым при амплитудной калибровке приемного тракта, и управляющим компьютером радиотелескопа (рис. 1). Модуль вычисления спектра подключается непосредственно к выходу сигналов промежуточных частот приемного устройства.

С выхода приемно-усилительного канала с полосой пропускания  $\Delta f$  шумовой сигнал, содержа-

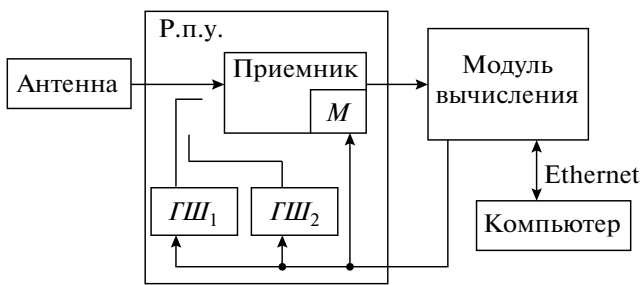


Рис. 1. Блок-схема спектрально-селективного радиометра.

щий собственные шумы радиотелескопа, широкополосный сигнал от исследуемого космического источника и принятые антенной помехи, поступает в модуль вычисления спектра. Аналого-цифровой преобразователь (а.ц.п.) на входе этого модуля непрерывно считывает выборки шумового сигнала с частотой  $F_{\text{сч}} \geq 2\Delta f$ .

Частота  $F_{\text{сч}}$  считывания выборок сигнала выбирается с учетом требуемой полосы приема  $\Delta f$  и технических параметров а.ц.п. Обычно  $F_{\text{сч}}$  выбирается равной степени 2 (в данном случае  $F_{\text{сч}} = 1024$  МГц или 2048 МГц), а полоса частот шумового сигнала на входе а.ц.п. устанавливается в пределах одной из зон Найквиста, ограниченных частотами  $(i - 1)\Delta f$  и  $i\Delta f$ , где  $i$  — порядковый номер зоны. Приемные каналы комплекса “Квазар-КВО” в диапазонах волн 6, 3.5 и 1.35 см имеют полосу пропускания 100–1000 МГц, которая попадает в первую зону Найквиста при  $F_{\text{сч}} = 2048$  МГц.

Разработанный модуль вычисления спектра можно использовать и с другими полосами промежуточных частот, например с полосой 1024–2048 или 1024–1536 МГц, которые применяются в разрабатываемых приемных каналах радиоинтерферометра на небольших антенных [6]. Поскольку быстродействие современных а.ц.п. выше, чем у программируемых логических интегральных схем (п.л.и.с.), выполняющих б.п.Ф., применяется  $n$ -канальное демультиплексирование потока выборок сигнала, в результате чего этот поток распределяется в п.л.и.с. по  $n$ -каналам б.п.Ф., работающим параллельно с тактовой частотой  $F_t = F_{\text{сч}}/n$ . Последовательности выборок в каналах сдвинуты одна относительно другой на период считывания  $1/F_{\text{сч}}$ . При заданном числе  $N$  дискретных частот в искомом спектре сигнала для вычисления спектра в одном канале должен быть набран пакет выборок объемом  $2N/n$ . В каждом канале б.п.Ф. спектры вычисляются циклически с периодом  $t_u = 2N/nF_t$ . За время  $t_u$  канал б.п.Ф. успевает вычислить спектр по предыдущему пакету выборок. Поэтому исключаются перерывы при считывании выборок сигнала и потери времени наблюдения источника излучения. Вычисленные спектры

накапливаются и суммируются на интервале  $t_{\text{нак}}$ . С каждого канала б.п.Ф. снимаются спектры проженных в  $n$  раз выборок шумового сигнала, которые объединяются в устройстве накопления и усредняются на интервале  $t_{\text{нак}}$ .

Рассматриваемый спектрально-селективный радиометр может работать как в режиме с модуляцией р.п.у., так и без модуляции. При работе в режиме без модуляции после суммирования и усреднения спектров среднеквадратическое отклонение (с.к.о.) амплитуд спектральных компонентов уменьшается в  $\sqrt{t_{\text{нак}} F_{\text{сч}}}/2$  раз. При этом принятые узкополосные помехи четко выделяются в виде выбросов на фоне гладкого спектра широкополосного шума. Усредненный спектр передается в компьютер, где после исключения спектральных компонентов на частотах радиопомех остается гладкий спектр смеси исследуемого сигнала и собственных шумов радиотелескопа. Чтобы определить шумовую температуру  $T_s$  сигнала, необходимо измерить шумовую температуру  $T_{\text{ш}}$  радиотелескопа, отводя, например, антенну радиотелескопа от источника излучения в “чистое небо”.

При работе в модуляционном режиме раздельно вычисляются и усредняются спектры, полученные по выборкам сигнала, считанным в разные полупериоды модуляции р.п.у. В результате сравнения (взаимного вычитания) усредненных спектров формируется спектр, включающий в себя гладкий спектр исследуемого сигнала и узкополосные спектры воздействующих радиопомех. После исключения спектральных компонентов на частотах радиопомех остается спектр сигнала, по которому вычисляются искомая шумовая температура  $T_s$  и спектральная плотность потока мощности  $S$  принимаемого радиосигнала. В рассматриваемом режиме работы радиометра п.л.и.с. формирует меандр для модуляции  $\Gamma\text{Ш}_1$  и управления модулятором приемно-усилительного канала, что гарантирует синхронную работу этих устройств и модуля вычисления спектров.

С.к.о. флуктуаций усредненных спектральных компонентов собственных шумов радиотелескопа определяет среднеквадратическую погрешность измерения энергетических параметров сигнала и минимальную шумовую температуру сигнала  $T_{s\min}$ , характеризующую чувствительность радиотелескопа. Чувствительность радиотелескопа и точность измерений энергетических параметров сигнала повышаются при увеличении времени накопления  $t_{\text{нак}}$ , пока оно не достигнет значения, при котором с.к.о. усредненных спектральных компонентов становится равным среднеквадратической погрешности вычислений. Дальнейшее увеличение времени  $t_{\text{нак}}$  эффекта не дает, но точность измерений можно повысить, проведя несколько сеансов наблюдений и усредняя результаты по ансамблю наблюдений.

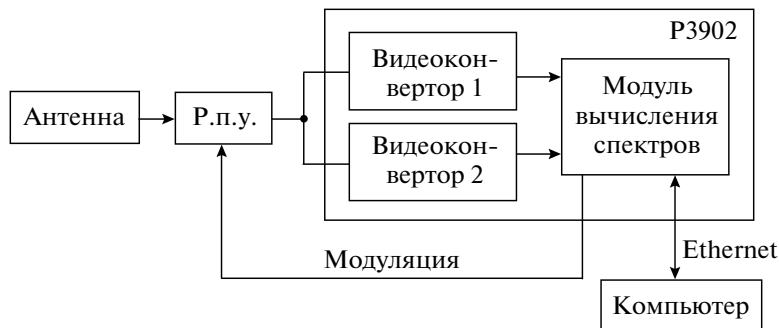


Рис. 2. Радиометр на базе спектрометра P3902.

Как показано в [7],

$$T_{s \min} = b T_{\text{ш}} \sqrt{\frac{2}{\Delta f(1 - \Delta f_{\text{пом}}/\Delta f)t_{\text{нак}}}},$$

где  $b$  – коэффициент, определяемый режимом работы р.п.у. (для модуляционных р.п.у. комплекса “Квазар-КВО”  $b \approx 2.22$ , для режима работы без модуляции  $b = 1$ );  $\Delta f_{\text{пом}}$  – суммарная полоса частот, занятая радиопомехами. При отсутствии радиопомех эта формула совпадает с известной формулой для радиометров с квадратичными детекторами [1]. При наличии радиопомех  $T_{s \min}$  увеличивается, но немного, так как обычно  $\Delta f_{\text{пом}} \ll \Delta f$ . Результаты измерений не зависят от мощностей воздействующих радиопомех, что отличает рассматриваемый радиометр от традиционных радиометров с амплитудными детекторами.

### СПЕКТРАЛЬНО-СЕЛЕКТИВНЫЙ РАДИОМЕТР С ПОЛОСОЙ ДО 64 МГц

Для радиометрических наблюдений в диапазоне волн 18–21 и 13 см, где из-за воздействия ра-

диопомех проводить радиометрические измерения в континууме с помощью радиометров с амплитудными квадратичными детекторами крайне затруднительно, был собран спектрально-селективный радиометр с использованием цифрового двухканального спектрометра P3902 (рис. 2), созданного изначально для регистрации радиоизлучений в спектральных линиях [8]. Двухканальный модуль вычисления спектров подключается к выходу промежуточной частоты р.п.у. с помощью пары перестраиваемых видеоконверторов с полосами пропускания  $\Delta f$ .

С целью обеспечения радиометрических наблюдений в континууме с исключением узкополосных радиопомех программное обеспечение спектрометра P3902 было дополнено, а также соответствующим образом был изменен алгоритм управления генераторами шумов и модулятором в приемном канале. Радиометр способен проводить радиометрические измерения в континууме в полосах до 64 МГц (до 32 МГц на канал) при частотном разрешении  $v = \Delta f/N$ . В рассматриваемом радиометре  $N = 1024$  для каждого канала, при  $\Delta f = 32$  МГц частотное разрешение составляет 62.5 кГц.

Радиометрические наблюдения проводились в обсерватории “Бадары”. На рис. 3 приведены результаты наблюдений источника 3C295, сигнала которого на частоте 1.4 ГГц имеет спектральную плотность потока мощности  $S = 22.5 \pm 0.3$  Ян (1 Ян =  $10^{-26}$  Вт/(м<sup>2</sup> · Гц)).

В частотной полосе регистрации сигнала была радиопомеха, средняя мощность  $P_{\text{пом}}$  которой составляла 8% от мощности  $P_{\text{ш}}$  собственного шума радиотелескопа в полосе  $\Delta f$ , а ширина спектра помехи – 2.43 МГц ( $\Delta f_{\text{пом}} = 0.076\Delta f$ ). Для сравнения представлены результаты измерений спектральной плотности потока мощности в полосе  $\Delta f = 32$  МГц радиометром с квадратичным детектором ( $S_1^*$ ) и рассматриваемым спектрально-селективным радиометром в режимах без исключения радиопомех ( $S_2^*$ ) и с исключением помехи ( $S_3^*$ ).

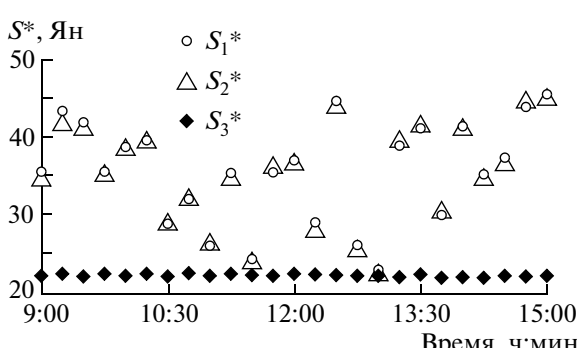


Рис. 3. Результаты наблюдений источника 3C295 при воздействии радиопомех.  $S_1^*$  – радиометр с квадратичным детектором;  $S_2^*$  – спектрально-селективный радиометр в режиме без исключения радиопомех,  $S_3^*$  – в режиме с ее исключением.

Результаты радиометрических измерений в континууме с помощью традиционного радиометра с амплитудным детектором при воздействии радиопомех становились недостоверными. При многократно проведенных измерениях значения  $S_1^*$  имели большой разброс и отличались от истинного значения  $S = 22.5$  Ян до 2.5 раз.

Практически такой же результат дает спектрально-селективный радиометр в режиме без исключения радиопомех: значения  $S_2^*$  и  $S_1^*$  расходятся не более чем на 1.5%. Результаты измерений спектрально-селективным радиометром в режиме с исключением помех отличаются высокой стабильностью и точностью: измеренные значения  $S_3^*$  отклоняются от истинного значения  $S = 22.5$  Ян не более чем на 1.3%. При работе в полосах частот, где нет радиопомех, результаты измерений традиционным и рассматриваемым радиометром совпадают с точностью 1.5%.

При наблюдении источника 3C123 ( $S = 48.6 \pm 0.2$  Ян на частоте 1.4 ГГц) воздействие радиопомех даже сравнительно небольшой мощности ( $P_{\text{пом}}/P_{\text{ш}} = 0.01$ ) на радиометр с квадратичным детектором приводило к ошибкам до 25%, а погрешность измерений радиометром с селекцией помех была не более 0.6%. В полосе частот, где не было помех, оценки  $S_1^*$  и  $S_3^*$  различались не более чем на 0.4%.

Результаты наблюдений подтвердили эффективность спектрально-селективного радиометра при радиометрических измерениях в континууме при воздействии узкополосных радиопомех. Эксперименты подтвердили возможность использования одного и того же прибора как для радиометрических измерений в континууме, так и для регистрации радиоизлучений в спектральных линиях, а также для исследования радиопомех.

Полученный опыт был использован при разработке спектрально-селективного радиометра с полосой до 1 ГГц.

## РАДИОМЕТРЫ С ПОЛОСОЙ ДО 1024 МГц

Для высокоточных радиометрических измерений в континууме в диапазоне сантиметровых волн, где необходимы полосы до 1 ГГц, был разработан двухканальный модуль вычисления спектра на базе платы Neptune V5 VSX, на которой установлены два а.ц.п. AT84AS008, работающих на частотах до 2.2 ГГц, два 4-канальных демультиплексора AT84CS001 и две п.л.и.с. XC5VSX95T с достаточно высокой логической емкостью и предельными тактовыми частотами работы до 550 МГц (рис. 4).

А.ц.п. AT84AS008 на управляющем входе имеет встроенный высокостабильный компаратор напряжения, обеспечивающий стабильное считы-ва-

ние выборок при гармоническом управляющем сигнале с частотой  $F_{\text{сц}}$ . Этот сигнал вырабатывается генератором, синхронизированным сигналом опорной частоты 5 МГц, поступающим от водородного стандарта частоты, установленного на радиотелескопе. При приеме сигналов в полосе 1024 МГц устанавливается частота  $F_{\text{сц}} = 2048$  МГц, а при полосе 512 МГц –  $F_{\text{сц}} = 1024$  МГц.

А.ц.п. считывает 10-разрядные выборки шумового сигнала с частотой  $F_{\text{сц}}$  и передает их в демультиплексор AT84CS001, где они распределяются по четырем последовательностям с частотой следования  $F_{\text{сц}}/4$ . Синхронно с этим демультиплексор вырабатывает меандр частоты  $F_t = F_{\text{сц}}/8$ , по фронту и спаду импульсов которого последовательности выборок переписываются в п.л.и.с. Каждая из последовательностей выборок, в свою очередь, распределяется по двум каналам б.п.Ф (в один из которых попадают выборки, записанные по фронтам импульсов меандра, а в другой канал – выборки, записанные по спадам импульсов).

В результате исходный поток выборок сигнала, считанных а.ц.п., оказывается распределенным по восьми каналам б.п.Ф., параллельно работающим с тактовой частотой  $F_t = F_{\text{сц}}/8$ .

Данные по полученным в результате суммирования и усреднения спектрам передаются через формирователь интерфейса Marvell Alaska PHY в компьютер радиотелескопа по каналу Ethernet.

Наличие на плате Neptune V5 VSX двух комплектов а.ц.п., демультиплексоров и п.л.и.с. позволяет одновременно вести радиометрические измерения радиосигналов двух поляризаций или сигналов в двух диапазонах волн. Суммарная полоса частот регистрируемых сигналов в этом случае удваивается и может достигать 2048 МГц.

Ресурсы п.л.и.с. XC5VSX95T с логической емкостью 94308 (число логических вентилей) при  $F_{\text{сц}} = 2048$  МГц позволили создать для нее конфигурацию, обеспечивающую получение  $N = 1024$  спектральных компонентов в полосе приема и разрешающую способность по частоте  $v = \Delta f/1024$ . Для радиометрических измерений в континууме этого вполне достаточно как при отсутствии, так и при наличии узкополосных радиопомех.

При  $\Delta f = 1024$  МГц, например, интервал частотного разрешения  $v = 1$  МГц в большинстве случаев шире спектра узкополосной радиопомехи, и при определении шумовой температуры сигнала достаточно исключить полосу  $\Delta f_{\text{пом}}$ , равную  $v$  или  $2v$ , т.е. сузить полосу анализа на 0.8% или на 1.6%. Такое сужение полосы приема соответствует снижению чувствительности радиометра на 0.4% или 0.8%, что практически не влияет на качество проводимых наблюдений.

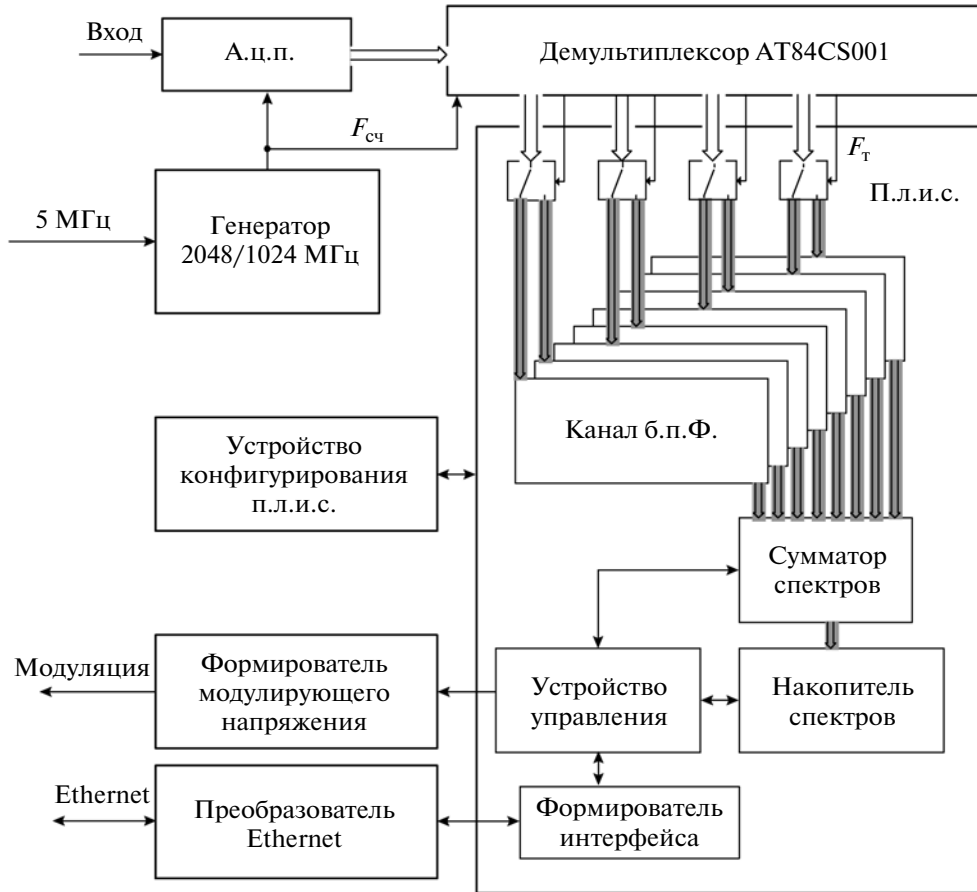


Рис. 4. Структурная схема одного канала модуля вычисления спектров в полосе до 1024 МГц.

Экспериментальные исследования радиометра на базе Neptune V5 VSX показали, что он является эффективным средством для высокоточных радиометрических измерений в континууме при воздействии узкополосных радиопомех.

Вместе с тем, радиометр на базе платы Neptune V5 VSX не следует рассматривать как универсальную систему, которая наряду с радиометрией обеспечивает еще и эффективный анализ космических радиоизлучений в спектральных линиях, поскольку разрешающая способность по частоте ограничена. Возможности повышения частотной разрешающей способности и увеличения числа спектральных компонентов  $N = \Delta f/v$  в полосе приема  $\Delta f$  определяются параметрами п.л.и.с. — логической емкостью, наличием встроенных аппаратных модулей памяти, умножителей и других элементов, необходимых для вычисления б.п.Ф.

С использованием пакета программ ISE Design Suite 12 WebPack и разработанных для б.п.Ф.-вычислителя логических ядер и компонентов структуры, были определены зависимости необходимых ресурсов п.л.и.с. семейства Virtex-5 и Virtex-6 от числа спектральных компонентов  $N$ . Расчеты

показали, что применение п.л.и.с. XC6VSX315T с логической емкостью 314880 обеспечивает при  $\Delta f = 1024$  МГц получение 32768 спектральных компонентов и разрешающую способность по частоте  $v = 31.25$  кГц. При этом можно проводить не только радиометрические измерения в континууме, но и анализ радиоизлучений в спектральных линиях в сантиметровом диапазоне волн.

## ЗАКЛЮЧЕНИЕ

Спектрально-селективные системы обеспечивают высокоточные радиометрические измерения в континууме при воздействии узкополосных радиопомех, чем качественно отличаются от традиционных радиометров с квадратичным детектором. Эти системы надежны и удобны в эксплуатации.

При соответствующем выборе элементной базы, в частности п.л.и.с., спектрально-селективные системы способны совмещать функции радиометрии и радиоастрономической спектрометрии, которые в настоящее время выполняются разными техническими средствами.

Первая универсальная спектрально-селективная система, работающая в полосах частот до 64 МГц, введена в эксплуатацию в обсерватории “Бадары”. Двухканальный спектрально-селективный радиометр с полосами до 1024 МГц, изготовленный с использованием платы Neptune V5 VSX, испытан в лаборатории и установлен в обсерватории “Светлое”.

### СПИСОК ЛИТЕРАТУРЫ

1. Есепкина Н.А., Корольков Д.В., Парийский Ю.Н. Радиотелескопы и радиометры. М.: Наука, 1973.
2. Финкельштейн А.М., Ипатов А.В., Смоленцев С.Г. // Земля и Вселенная. 2004. № 4. С. 12.
3. Ипатов А.В., Кольцов Н.Е., Крохалев А.В. // ПТЭ. 2005. № 4. С. 66.
4. Ilin G. // Proceedings of 20th Meeting of the European VLBI Group for Geodesy and Astronomy. Bonn, 2011. P. 105.
5. Кольцов Н.Е. // Изв. вузов России. Радиоэлектроника. 2011. Вып. 2. С. 59.
6. Гренков С.А., Ипатов А.В., Кольцов Н.Е. // Изв. вузов. Радиофизика. 2008. Т. 51. № 9. С. 777.
7. Кольцов Н.Е. // Труды ИПА РАН. 2005. Вып. 15. С. 98.
8. Гренков С.А., Кольцов Н.Е. // ПТЭ. 2009. № 3. С. 160.